

高等學校教學用書

# 燃气輪机及燃气輪機裝置

上 冊

И·И·基里洛夫著

陈丹之譯



中國工業出版社

## 序

在这部分两卷出版的教科書中，包含着一套为了了解燃气輪机装置的各种制造原則以及設計高效率渦輪机（后者为燃气輪机装置中之主要部件）所必需的基本知識。第一卷全部闡述渦輪机的原理与設計。

直到現在为止，各式渦輪机的原理都是在彼此沒有充分联系之下發展起来的。蒸汽輪机原理的發展尤其特殊，其中建立了許多的傳統，这些傳統都是沒有科学根据的。举例來說，在蒸汽輪机原理中長期地沒有把旋轉的汽流中的慣性力考慮进去，可是燃气輪机和渦輪压气机原理在短期内就比蒸汽輪机原理更提高了一步。

如果我們相当深入地来研究一下渦輪机的原理，就可以明白，所有这些原理都具有一个共同的科学基础。远在1754年为雷荷那特·欧拉所奠定的渦輪机理論基础以及現代空气动力学上所达到的成就都同样适用于所有各式的渦輪机。因此傳統上把渦輪机和压气机截然划分为兩門課程的作法已經沒有絲毫根据。毫无疑问，最近在各种型式的渦輪机的理論之間所顯現出来的密切联系和在各種理論的發展过程中長期所积累下来的丰富經驗的总结将会使最重要的动力机械的建造获得进一步的發展。

在發展渦輪机一般原理的現阶段中，詳細地研究渦輪机內所發生的各种現象的物理本質是非常重要的。对于渦輪机制造业來說，近代空气动力学的主要成就是：通过它的方法可以揭露渦輪机中所發生的許多重要現象，并且指出改善叶片机构的途徑。因此在本書中，对于渦輪机內工作过程的研究特別注重。

一九四八年，当「燃气輪机」一書出版时，我曾經采用过某些步驟，从共同的觀点上来討論輪机和軸流式压气机的原理。此后，根据这个原則开始在以加里宁命名的列寧格勒多科性工业大学中講課，后来又在別日茨基运输机器制造学院中講授，从这些講授过程中得出經驗：把这两門課程这样結合起来是完全合理的。

在本書中，这种思想要比以前出版的著作反映得更加广泛：渦輪机原理的所有基本問題都結合在前面两章中說明，它們构成了本課程的基本內容。这两章以及卷一中的第三章所述的原理也直接适用于蒸汽輪机。在后面專門的几章中（第三、第五、第六章）給出各式輪机和压气机的計算特点。

在第四章以及其他專門几章中簡短地对渦輪机的設計制造問題加以叙述，并且对燃气輪机冶金学上問題的主要內容作了說明。后者在了解近代燃气輪机装置的一般建造問題时是必需知道的。

在編写本書时，書中的草圖以及許多計算都是由 E. Θ. 基里洛娃所完成。

作 者

# 主要符号

## 1 通流部的几何特征

$u, z, r$  —— 相应为圆周速度  $u$ , 轮机轴  $z$  以及半径  $r$  方向的坐标轴;

$d_1, d$  —— 相应为导流机构和工作轮的平均直径;

$l_1, l$  —— 相应为导流机构和工作轮出口截面上的高度;

$b_1, b$  —— 相应为导叶和动叶的弦长;

$t_1, t$  —— 相应为导叶和动叶的节距;

$\alpha_{0A}, \alpha_{1A}$  —— 相应为导叶的进口角度与出口角度, 按  $u$  轴以及和叶型中线相切的切线之间的交角来计算;

$\beta_{1A}, \beta_{2A}$  —— 相应为动叶的进口角度和出口角度, 按  $u$  轴以及和叶型中线相切的切线之间的交角来计算;

$\theta$  —— 叶型弯曲角;

$\delta$  —— 间隙;

$\Delta$  —— 盖度;

$S$  —— 叶片的环通面积; 轮盘的侧表面。

## 2 气流的速度与角度

$c_0, c_1, c_2$  —— 相应为级前, 导流机构与工作轮之间以及级后的气流绝对速度向量;

$w_1, w_2$  —— 相应为工作轮前与工作轮后气流的相对速度向量;

$u$  —— 圆周速度;

$c_0 = 91.5\sqrt{h'_{0n}}$  —— 按照总等熵热降  $h'_{0n}$  来计算的假想速度;

$c_c = \frac{1}{2}(c_1 + c_2)$  —— 平均绝对速度向量;

$w_c = \frac{1}{2}(w_1 + w_2)$  —— 平均相对速度向量;

$a$  —— 声音的传播速度(音速);

$M$  —— 气流速度对当地音速之比;

$\omega$  —— 角速度;

$n$  —— 每分钟的转数;

$\alpha_0, \alpha_1, \alpha_2$  —— 相应为  $u$  轴和绝对速度向量

$c_0, c_1$  及  $c_2$  之间的气流角度<sup>①</sup>;

$\beta_1, \beta_2$  —— 相应为  $u$  轴和相对速度向量  $w_1$  及  $w_2$  之间的气流角度;

$i$  —— 冲角;

$\epsilon$  —— 叶栅中的气流转折角;

$\delta$  —— 气流的偏转角;

$\rho_K$  —— 运动反动度。

注: 1. 速度在  $u, z$  及  $r$  轴上的投影用相应于各该轴的第二个足注来标记。

2. 根部截面处的参数用一个撇 ('') 来标记, 顶部截面处的参数用两个撇 ('') 来标志。

## 3 参数

$i$  —— 焓;

$i'$  —— 等熵膨胀终点处的焓;

$p$  —— 压力;

$t$  —— 温度,  $^{\circ}\text{C}$ ;

$T$  —— 温度,  $^{\circ}\text{K}$ ;

$\gamma$  —— 重度;

$\rho$  —— 密度;

$\nu$  —— 比容;

记号 0 —— 级前的参数;

记号 1 —— 导流机构与工作轮之间的参数;

记号 2 —— 级后的参数;

记号  $n$  —— 气体的滞止参数;

记号 I —— 涡轮机前的参数;

记号 II —— 涡轮机后的参数。

## 4 功, 热降与能量损失

$A$  —— 热功当量;

$c_p$  —— 等压比热;

$c_v$  —— 等容比热;

$k$  —— 等熵指数;

$m = \frac{k-1}{k}$ ;

$n$  —— 多变指数;

$I_0$  —— 理论功;

$I$  —— 有用功;

$h_{0n} = i_{0n} - i_{2n}$  —— 级中之可用热降;

$h'_{0n} = i_{0n} - i'_2$  —— 从级前的滞止参数膨胀到级后压力的等熵热降;

① 角度  $\alpha_2, \beta_1$  及  $\beta_2$  在某些场合中是按和  $u$  轴相反的方向来计算, 此时它们的右上角就标以星号 ( $\alpha_2^*, \beta_1^*, \beta_2^*$ )。

$h_1 = i_0 - i'_1$  —— 导流机构中的等熵热降；  
 $h_{1n} = i_{0n} - i'_1$  —— 按滞止参数起算的导流机构中的等熵热降；  
 $h_2 = i_1 - i'_2$  —— 工作轮中的等熵热降；  
 $\rho_r = \frac{h_2}{h_{0n}}$  —— 热力反动度；  
 $h_\theta$  —— 扩压器中的热力压头；  
 $\Delta h_1, \Delta h_2$  —— 相应为导流机构和工作轮中的叶型损失；  
 $\Delta h_l$  —— 端部能量损失；  
 $\Delta h_s$  —— 余速损失；  
 $\Delta h_\theta$  —— 扩压器中的能量损失；  
 $\zeta_1, \zeta_2$  —— 相应为导流机构和工作轮中的能量损失系数；  
 $\Psi, \psi$  —— 相应为导流机构和工作轮中的速度系数；  
 $h$  —— 涡轮机级内的有效热降；  
 $H_{0n}$  —— 整部涡轮机内从压力  $p_{1n}$  到  $p_{11n}$  的总等熵热降；

$H'_{0n}$  —— 涡轮机内从压力  $p_{1n}$  到  $p_{11}$  的总等熵热降；  
 $H$  —— 涡轮机内的有效热降；  
 $\alpha$  —— 重热系数或能量消耗系数；  
 $\eta$  —— 级或整个涡轮机的内效率； 叶栅效率；  
 $\eta_{no.i}$  —— 多变效率；  
 $\eta_e$  —— 有效效率；  
 $\eta_s$  —— 电效率；  
 $\eta_m$  —— 机械效率。

## 5 流量与功率

$\mu$  —— 流量系数；  
 $G$  —— 气体的重量流量；  
 $Q$  —— 气体的容积流量；  
 $N$  —— 内功率；  
 $N_e$  —— 有效功率；  
 $N_s$  —— 电功率。

注：平均值或相对（无因次）值在字母上面画有一条线。

其他符号在正文中特别加以解释。

# 目 录

序	4
主要符号	5
概論	7
第一章 涡輪机原理中的基本知識	16
1. 能量与动量方程式	16
2. 理想可用功与压缩功	19
3. 气体在喷管和扩压器中的流动	23
4. IS-圖	33
5. 速度三角形	35
6. 叶栅的各种几何特性	38
7. 欧拉公式	40
8. 儒可夫斯基定理	43
9. 反动度	44
10. 涡輪机級的特性系数	46
11. 气流流过叶型时的流动情况	50
12. 軸流式涡輪机中不可压缩流体的結構	54
13. 軸流式涡輪机中可压缩流体的結構	57
14. 当 $\rho c_2 = \text{常数}$ 时轴流式涡輪机級內的 气流的扭轉	62
第二章 涡輪机內的主要机械能損失	67
15. 內部能量損失及外部能量損失	67
16. 涡輪机的模化	67
17. 机械能損失系数与叶栅阻力系数	72
18. 叶栅的空气动力学試驗方法	78
19. 旋转模型的空气动力学試驗方法	83
20. 叶型阻力	86
21. 端部能量損失	95
22. 軸向間隙对能量損失的影响	98
23. 軸流式涡輪机中的徑向流动和不均匀的速 度場	105
24. 余速損失	108
第三章 燃气輪机的原理与計算特点	115
25. 輪机級的主要特性系数	115
26. 具有不同反动度的輪机級的比較	123
27. 工作輪后面的軸向速度的选择	128
28. 單級軸流式燃气輪机的計算方法	130
29. 單級輪机的热力計算示例	135
30. 多級輪机	140
31. 重热系数	141
32. 多級燃气輪机的計算方法	144
33. 多級燃气輪机的計算示例	148
34. 徑流式輪机	156
35. 輪机中的燃气流量随燃气的初态参数和 終态参数的不同而引起的变化	160
36. 輪机的外特性曲綫	165
第四章 燃气輪机零件的构造与計算	168
37. 冶金学上的問題以及对材料的要求	168
38. 燃气輪机中所采用的材料	174
39. 輪机的叶片	181
40. 輪盤和轉鼓	187
41. 气缸	192
42. 燃气輪机零件中的温度場	196
43. 燃气輪机零件的冷却	201
44. 曲徑气封	204
第五章 軸流式压气机的原理和計算特点	209
45. 軸流式压气机級的各种方案及其特性系数	209
46. 計算軸流式压气机用的实验数据	212
47. 具有不同反动度的压气机級的比較	218
48. 气流繞叶片高度方向上各不同截面流过时 的流动条件	221
49. 压气机級的特性曲綫的作法	226
50. 多級軸流式压气机通流部的設計	230
51. 多級軸流式压气机的計算示例	235
52. 軸流式压气机的通用特性曲綫	242
53. 軸流式压气机的构造特点	244
第六章 离心式压气机的原理和計算特点	248
54. 离心式压气机級的各种方案及其特性系数	248
55. 有限的动叶数和摩擦的影响	250
56. 工作輪进、出口处的工作条件	252
57. 离心式压气机的計算示例	259
58. 离心式压气机的特性曲綫	264
59. 各式压气机的比較	266
60. 离心式压气机的构造特点	268
附录 I	271
附录 II	272
附录 III	277
参考文献	274

高等学校教学用书

# 燃气輪机及燃气輪机装置

上 册

И·И·基里洛夫著

陈丹之譯



中国工业出版社



# 目 录

序	4
主要符号	5
概論	7
第一章 涡輪机原理中的基本知識	16
1. 能量与动量方程式	16
2. 理想可用功与压缩功	19
3. 气体在喷管和扩压器中的流动	23
4. IS-圖	33
5. 速度三角形	35
6. 叶栅的各种几何特性	38
7. 欧拉公式	40
8. 儒可夫斯基定理	43
9. 反动度	44
10. 涡輪机級的特性系数	46
11. 气流流过叶型时的流动情况	50
12. 軸流式涡輪机中不可压缩流体的結構	54
13. 軸流式涡輪机中可压缩流体的結構	57
14. 当 $\rho c_z = \text{常数}$ 时軸流式涡輪机級內的 气流的扭轉	62
第二章 涡輪机內的主要机械能損失	67
15. 內部能量損失及外部能量損失	67
16. 涡輪机的模化	67
17. 机械能損失系数与叶栅阻力系数	72
18. 叶栅的空气动力学試驗方法	78
19. 旋转模型的空气动力学試驗方法	83
20. 叶型阻力	86
21. 端部能量損失	95
22. 軸向間隙对能量損失的影响	98
23. 軸流式涡輪机中的徑向流动和不均匀的速度 場	105
24. 余速損失	108
第三章 燃气輪机的原理与計算特点	115
25. 輪机級的主要特性系数	115
26. 具有不同反动度的輪机級的比較	123
27. 工作輪后面的軸向速度的选择	128
28. 單級軸流式燃气輪机的計算方法	130
29. 單級輪机的热力計算示例	135
30. 多級輪机	140
31. 重热系数	141
32. 多級燃气輪机的計算方法	144
33. 多級燃气輪机的計算示例	148
34. 徑流式輪机	156
35. 輪机中的燃气流量随燃气的初态参数和 終态参数的不同而引起的变化	160
36. 輪机的外特性曲綫	165
第四章 燃气輪机零件的构造与計算	168
37. 冶金学上的問題以及对材料的要求	168
38. 燃气輪机中所采用的材料	174
39. 輪机的叶片	181
40. 輪盤和轉鼓	187
41. 气缸	192
42. 燃气輪机零件中的温度場	196
43. 燃气輪机零件的冷却	201
44. 曲徑气封	204
第五章 軸流式压气机的原理和計算特点	209
45. 軸流式压气机級的各种方案及其特性系数	209
46. 計算軸流式压气机用的实验数据	212
47. 具有不同反动度的压气机級的比較	218
48. 气流繞叶片高度方向上各不同截面流过时 的流动条件	221
49. 压气机級的特性曲綫的作法	226
50. 多級軸流式压气机通流部的設計	230
51. 多級軸流式压气机的計算示例	235
52. 軸流式压气机的通用特性曲綫	242
53. 軸流式压气机的构造特点	244
第六章 离心式压气机的原理和計算特点	248
54. 离心式压气机級的各种方案及其特性系数	248
55. 有限的动叶数和摩擦的影响	250
56. 工作輪进、出口处的工作条件	252
57. 离心式压气机的計算示例	259
58. 离心式压气机的特性曲綫	264
59. 各式压气机的比較	266
60. 离心式压气机的构造特点	268
附录 I	271
附录 II	272
附录 III	277
参考文献	274

## 序

在这部分两卷出版的教科書中，包含着一套为了了解燃气輪机装置的各种制造原則以及設計高效率渦輪机（后者为燃气輪机装置中之主要部件）所必需的基本知識。第一卷全部闡述渦輪机的原理与設計。

直到現在为止，各式渦輪机的原理都是在彼此沒有充分联系之下發展起来的。蒸汽輪机原理的發展尤其特殊，其中建立了許多的傳統，这些傳統都是沒有科学根据的。举例來說，在蒸汽輪机原理中長期地沒有把旋轉的汽流中的慣性力考慮进去，可是燃气輪机和渦輪压气机原理在短期内就比蒸汽輪机原理更提高了一步。

如果我們相当深入地来研究一下渦輪机的原理，就可以明白，所有这些原理都具有一个共同的科学基础。远在1754年为雷荷那特·欧拉所奠定的渦輪机理論基础以及現代空气动力学上所达到的成就都同样适用于所有各式的渦輪机。因此傳統上把渦輪机和压气机截然划分为兩門課程的作法已經沒有絲毫根据。毫无疑问，最近在各种型式的渦輪机的理論之間所顯現出来的密切联系和在各種理論的發展过程中長期所积累下来的丰富經驗的总结将会使最重要的动力机械的建造获得进一步的發展。

在發展渦輪机一般原理的現阶段中，詳細地研究渦輪机內所發生的各种現象的物理本質是非常重要的。对于渦輪机制造业來說，近代空气动力学的主要成就是：通过它的方法可以揭露渦輪机中所發生的許多重要現象，并且指出改善叶片机构的途徑。因此在本書中，对于渦輪机內工作过程的研究特別注重。

一九四八年，当「燃气輪机」一書出版时，我曾經采用过某些步驟，从共同的觀点上来討論輪机和軸流式压气机的原理。此后，根据这个原則开始在以加里宁命名的列寧格勒多科性工业大学中講課，后来又在別日茨基运输机器制造学院中講授，从这些講授過程中得出經驗：把这两門課程这样結合起来是完全合理的。

在本書中，这种思想要比以前出版的著作反映得更加广泛：渦輪机原理的所有基本問題都結合在前面兩章中說明，它們构成了本課程的基本內容。这两章以及卷一中的第三章所述的原理也直接适用于蒸汽輪机。在后面專門的几章中（第三、第五、第六章）給出各式輪机和压气机的計算特点。

在第四章以及其他專門几章中簡短地对渦輪机的設計制造問題加以叙述，并且对燃气輪机冶金学上問題的主要內容作了說明。后者在了解近代燃气輪机装置的一般建造問題时是必需知道的。

在編写本書时，書中的草圖以及許多計算都是由 E. Θ. 基里洛娃所完成。

作 者

# 主 要 符 号

## 1 通流部的几何特征

$u, z, r$  —— 相应为圆周速度  $u$ , 轮机轴  $z$  以及半径  $r$  方向的坐标轴;

$d_1, d$  —— 相应为导流机构和工作轮的平均直径;

$l_1, l$  —— 相应为导流机构和工作轮出口截面上的高度;

$b_1, b$  —— 相应为导叶和动叶的弦长;

$t_1, t$  —— 相应为导叶和动叶的节距;

$\alpha_{0A}, \alpha_{1A}$  —— 相应为导叶的进口角度与出口角度, 按  $u$  轴以及和叶型中线相切的切线之间的交角来计算;

$\beta_{1A}, \beta_{2A}$  —— 相应为动叶的进口角度和出口角度, 按  $u$  轴以及和叶型中线相切的切线之间的交角来计算;

$\theta$  —— 叶型弯曲角;

$\delta$  —— 阻塞;

$\Delta$  —— 盖度;

$S$  —— 叶片的环通面积; 轮盘的侧表面。

## 2 气流的速度与角度

$c_0, c_1, c_2$  —— 相应为级前, 导流机构与工作轮之间以及级后的气流绝对速度向量;

$w_1, w_2$  —— 相应为工作轮前与工作轮后气流的相对速度向量;

$u$  —— 圆周速度;

$c_0 = 91.5\sqrt{h'_{0n}}$  —— 按照总等熵热降  $h'_{0n}$  来计算的假想速度;

$c_c = \frac{1}{2}(c_1 + c_2)$  —— 平均绝对速度向量;

$w_c = \frac{1}{2}(w_1 + w_2)$  —— 平均相对速度向量;

$a$  —— 声音的传播速度(音速);

$M$  —— 气流速度对当地音速之比;

$\omega$  —— 角速度;

$n$  —— 每分钟的转数;

$\alpha_0, \alpha_1, \alpha_2$  —— 相应为  $u$  轴和绝对速度向量  $c_0, c_1$  及  $c_2$  之间的气流角度<sup>①</sup>;

$\beta_1, \beta_2$  —— 相应为  $u$  轴和相对速度向量  $w_1$  及  $w_2$  之间的气流角度;

$\iota$  —— 冲角;

$\epsilon$  —— 叶栅中的气流转折角;

$\delta$  —— 气流的偏转角;

$\rho_k$  —— 运动反动度。

注: 1. 速度在  $u, z$  及  $r$  轴上的投影用相应于各该轴的第二个足注来标记。  
2. 根部截面处的参数用一个撇(')来标记, 顶部截面处的参数用两个撇('')来标志。

## 3 参 数

$i$  —— 焓;

$i'$  —— 等熵膨胀终点处的焓;

$p$  —— 压力;

$t$  —— 温度,  $^{\circ}\text{C}$ ;

$T$  —— 温度,  $^{\circ}\text{K}$ ;

$\gamma$  —— 重度;

$\rho$  —— 密度;

$\nu$  —— 比容;

记号 0 —— 级前的参数;

记号 1 —— 导流机构与工作轮之间的参数;

记号 2 —— 级后的参数;

记号  $n$  —— 气体的滞止参数;

记号 I —— 涡轮机前的参数;

记号 II —— 涡轮机后的参数。

## 4 功, 热降与能量损失

$A$  —— 热功当量;

$c_p$  —— 等压比热;

$c_v$  —— 等容比热;

$k$  —— 等熵指数;

$m = \frac{k-1}{k}$ ;

$n$  —— 多变指数;

$I_0$  —— 理论功;

$I$  —— 有用功;

$h_{0n} = i_{0n} - i_{2n}$  —— 级中之可用热降;

$h'_{0n} = i_{0n} - i'_2$  —— 从级前的滞止参数膨胀到级后压力的等熵热降;

① 角度  $\alpha_2, \beta_1$  及  $\beta_2$  在某些场合中是按和  $u$  轴相反的方向来计算, 此时它们的右上角就标以星号 ( $\alpha_2^*, \beta_1^*, \beta_2^*$ )。

$h_1 = i_0 - i'_1$  —— 导流机构中的等熵热降；  
 $h_{1n} = i_{0n} - i'_1$  —— 按滞止参数起算的导流机构中的等熵热降；  
 $h_2 = i_1 - i'_2$  —— 工作轮中的等熵热降；  
 $\rho_r = \frac{h_2}{h_{0n}}$  —— 热力反动度；  
 $h_\theta$  —— 扩压器中的热力压头；  
 $\Delta h_1, \Delta h_2$  —— 相应为导流机构和工作轮中的叶型损失；  
 $\Delta h_l$  —— 端部能量损失；  
 $\Delta h_s$  —— 余速损失；  
 $\Delta h_\theta$  —— 扩压器中的能量损失；  
 $\zeta_1, \zeta_2$  —— 相应为导流机构和工作轮中的能量损失系数；  
 $\Psi, \psi$  —— 相应为导流机构和工作轮中的速度系数；  
 $h$  —— 涡轮机级内的有效热降；  
 $H_{0n}$  —— 整部涡轮机内从压力  $p_{1n}$  到  $p_{11n}$  的总等熵热降；

$H'_{0n}$  —— 涡轮机内从压力  $p_{1n}$  到  $p_{11}$  的总等熵热降；  
 $H$  —— 涡轮机内的有效热降；  
 $\alpha$  —— 重热系数或能量消耗系数；  
 $\eta$  —— 级或整个涡轮机的内效率； 叶栅效率；  
 $\eta_{no.i}$  —— 多变效率；  
 $\eta_e$  —— 有效效率；  
 $\eta_s$  —— 电效率；  
 $\eta_m$  —— 机械效率。

## 5 流量与功率

$\mu$  —— 流量系数；  
 $G$  —— 气体的重量流量；  
 $Q$  —— 气体的容积流量；  
 $N$  —— 内功率；  
 $N_e$  —— 有效功率；  
 $N_s$  —— 电功率。

注：平均值或相对（无因次）值在字母上面画有一条线。

其他符号在正文中特别加以解释。

## 概論

所謂輪机是这样的一种原动机，在它的叶片机构中，流体的势能化为动能，而动能又在工作輪中轉变为机械能，傳給不断旋轉着的机軸。从运动学方面来看，輪机和活塞式原动机相比，其特点是非常簡單，因为它并沒有往复直綫运动的部分，而連續的旋轉运动是这种原动机的特点。因此远在太古时代就早已有过想建造輪机的許多嘗試[54], [75], [84], [85]，而且这还在活塞式原动机發明之前。但是科学知識的不足，一般技术水平的低落以及經濟条件的不够長久地阻碍了蒸汽輪机和燃气輪机的發展，而活塞式机器則長期地被当作工业上的主要原动机使用。

远在上世紀的八十年代，电工学方面就已经获得了很大的进展。那时候所建成的許多电力設備需要許多巨大的高速旋轉的原动机去带动它們。而当时的科学技术水平已經能够解决輪机發动机中所存在的主要問題。由于經濟上的前提已經成熟而技术方面也已經有了一般的成就，因此无数的發明家就献出了自己的劳动来解决新的原动机問題。

由于許多發明家在各方面作了很多广泛的試驗，使得蒸汽輪机获得了非常快的發展并且达到了很完善的程度[54]。但是在蒸汽輪机發展的同时，也發展着一种和蒸汽輪机大不相同的燃气輪机。

圖1示有一最簡單的燃气輪机裝置示意圖，空气在压气机1中压缩到某一压力后，就不斷地流入燃燒室2，燃料在这里和空气混合进行等压燃燒，由于燃料的燃燒，空气的溫度增高。燃燒产物在压力和高溫之下通往輪机3，在輪机3中气体膨胀作功。理想压气机中空气的压缩功可以用某一比例尺在*i-s*圖上用綫段 $h_k$ 表示出来，而理想輪机中气体的膨胀功可以用綫段 $h_r$ 来表示（圖2）。 $h_r$ 和 $h_k$ 之差

相当于燃气輪机裝置的有效功，这个功可以用机械能的形式通过輪軸傳給發电机4的轉子（圖1）或傳給其他机器变为机械能。

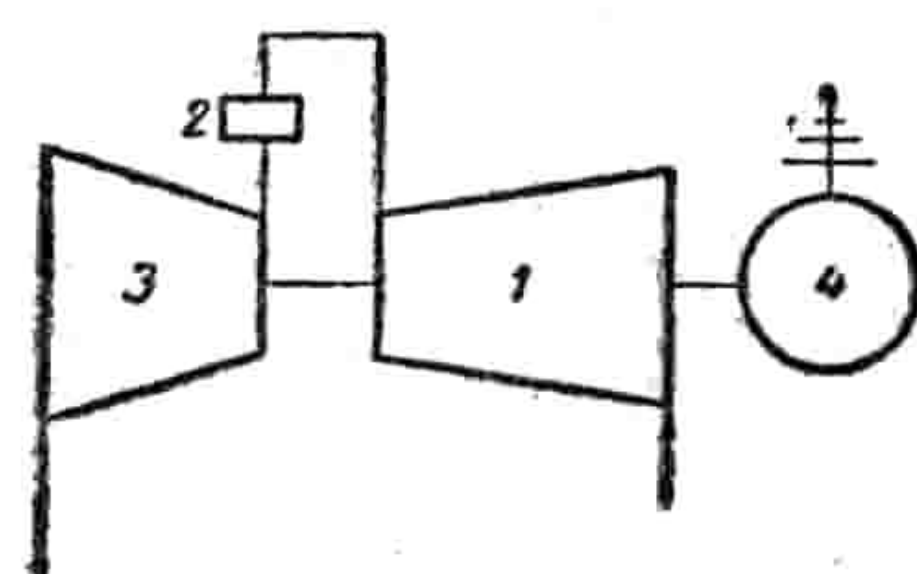


圖1 連續燃燒式燃气輪机裝置的示意圖。

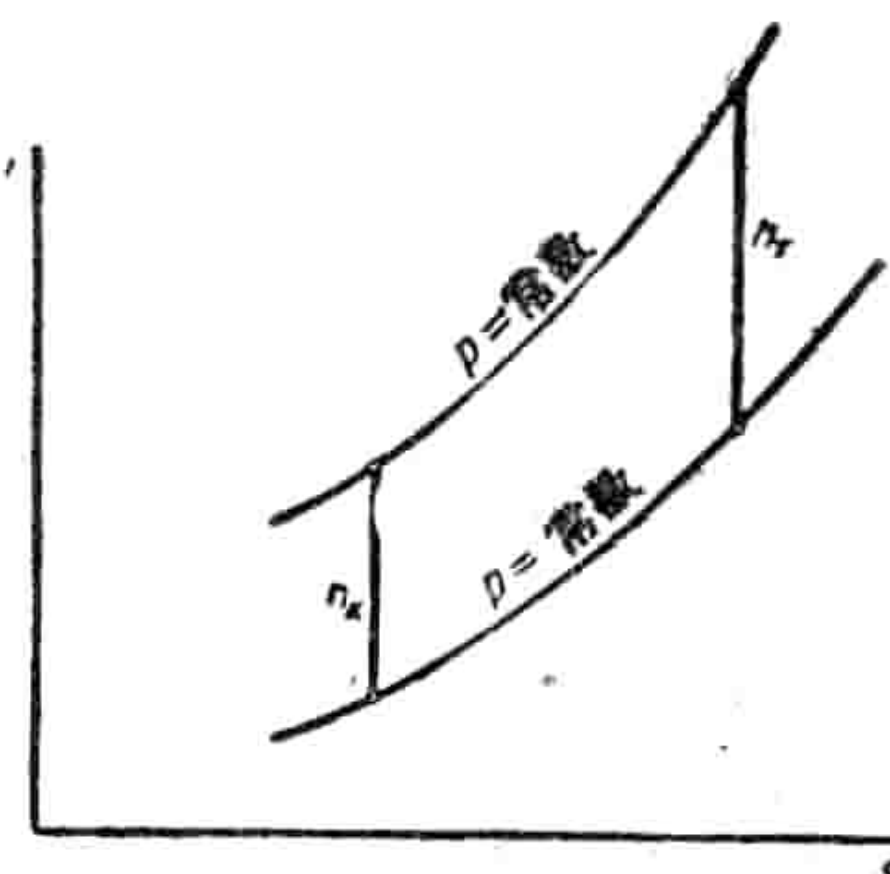


圖2 *i-s* 圖上的輪机及压气机中的热降。

按照上述原理来工作的原动机，我們以后就称为連續燃燒式燃气輪机裝置，或簡称为—ГТУ НГ<sup>①</sup>。

随着輪机前溫度的提高以及同时对压力的适当提高，由于气体的性質，膨脹功 $h_r$ 要比压缩功 $h_k$ 大大增加，因此輪机前气体的溫度愈高，那末从流过輪机的每公斤气体中所获得的有效功也就愈大，而原动机的經濟性也就愈高。为了使燃气輪机裝置能达到很滿意的經濟指标，輪机前的气体溫度就应当很高。

在实际渦輪机<sup>②</sup>中总有某些能量損失，这

① 在文献中也可以找到另一通用的术语：「等压燃燒式燃气輪机裝置」。通常「燃气輪机」这一术语就指的是燃气輪机裝置。

② 「渦輪机」(Турбомашина) 这一譯名中 既包含着輪机也包含着压气机。——譯者

样一来，压缩功  $h_k$  以及膨胀功  $h_t$  和理想机器中的数值相比，前者就要增加，而后者就要减少。因为  $h_t$  和  $h_k$  要比  $h_t$  和  $h_k$  之差大好几倍，所以任何膨胀功的减少或压缩功的增大都会使它们的差值起几倍大的相对变化。因此，为了使燃气轮机装置能有效地工作，燃气轮机以及压气机中的机械能损失应当很小。

因此，为了要实现效率很高的燃气轮机装置，就必须解决两个问题：冶金学上面的问题——牵涉到耐高温合金的研究，以及空气动力学上的问题——包括轮机和压气机的通流部的改善问题。

如何来解决燃气轮机装置的建造问题早就引起了许许多多的研究家和发明家的注意。远在1791年英国工程师约翰·拜勃耳就曾经建议一种具有煤气发生器、燃烧室、活塞式压气机和燃气轮机的燃气轮机装置。此后一直到十九世纪结束为止，有不少人曾经取得燃气轮机装置的专利权，但是这些装置都沒有实现过。

由于蒸汽轮机的发明及其接着而来的迅速发展，人们对燃气轮机装置建造上的注意有些放松，但是许许多多发明家的思想仍旧为燃气轮机问题所吸引。

燃气轮机装置和蒸汽动力装置相比的许多特殊优点就是一个刺激因素。因为蒸汽动力装置是一种复杂的组合体，里面包含着锅炉，蒸汽原动机，冷凝器以及许多辅助机构，而上面所讲的燃气轮机装置只由几部分形式简单以及尺寸较小的部件所组成。此外，蒸汽动力装置需要用大量的冷却水，这在实际条件下常常是它的一个巨大缺点，而燃气轮机装置就不会有这些缺点，同时燃气轮机也具有轮机式原动机和活塞式原动机相比的所有优点。

1892年，俄国工程师П.Д.古士明斯基曾经设计了一个方案，此后并且完成了一台不大的蒸汽——燃气轮机[32], [33], [85]。这台轮机的燃烧室（当时称作「燃气——蒸汽发生器」）是由一耐热合金制成的内筒以及钢制的外

壳所组成，两者之间放有蛇形管（图3）。水在50大气压以上的压力下经过蛇形管而流入燃烧室，同时就变成蒸汽，在燃烧室中还引入有煤油和10大气压左右的空气。

#### 蒸汽和燃烧产

物的混合物不断地通往径流式轮机的中心部分，这种轮机是由静止的和转动的轮子所组成，轮子上面则装有叶片。该装置当时是用在小型汽艇上的。

曾经制造了一个燃烧室并且试验过，但当时碰到了温度调节上的很大

困难。试验并没有做完，因为П.Д.古士明斯基在1900年五月就逝世了。

1872年，德国工程师须托而采获得了「热空气式轮机」的专利权，此后这种轮机曾经在1900年到1904年之间制造过并且试验过。须托而采轮机是很有意思的，因为它已包含着最新式的连续燃烧式燃气轮机的所有元件。

在须托而采装置中（图4），空气是在一个10级轴流式压气机中压缩。从压气机出来的压缩空气进入加热器2，加热器管子的外面充满着从燃烧室引来的炽热气体。空气经过加热后通往反动式轮机3。在轮机的旁边置有一烧无烟煤的燃气发生器4，它把燃气供给燃烧室。这部轮机是按200匹马力，2000转/分来设计的。试验的结果并没有发表，显然这些试验并没有成功。

1906年，法国工程师阿孟高和列马里在法国所建造的一台连续燃烧式轮机也颇感兴趣，这台轮机是烧煤油的。利用喷水到燃烧室中去的方法，使喷管前的燃气温度降低到560°C。轮

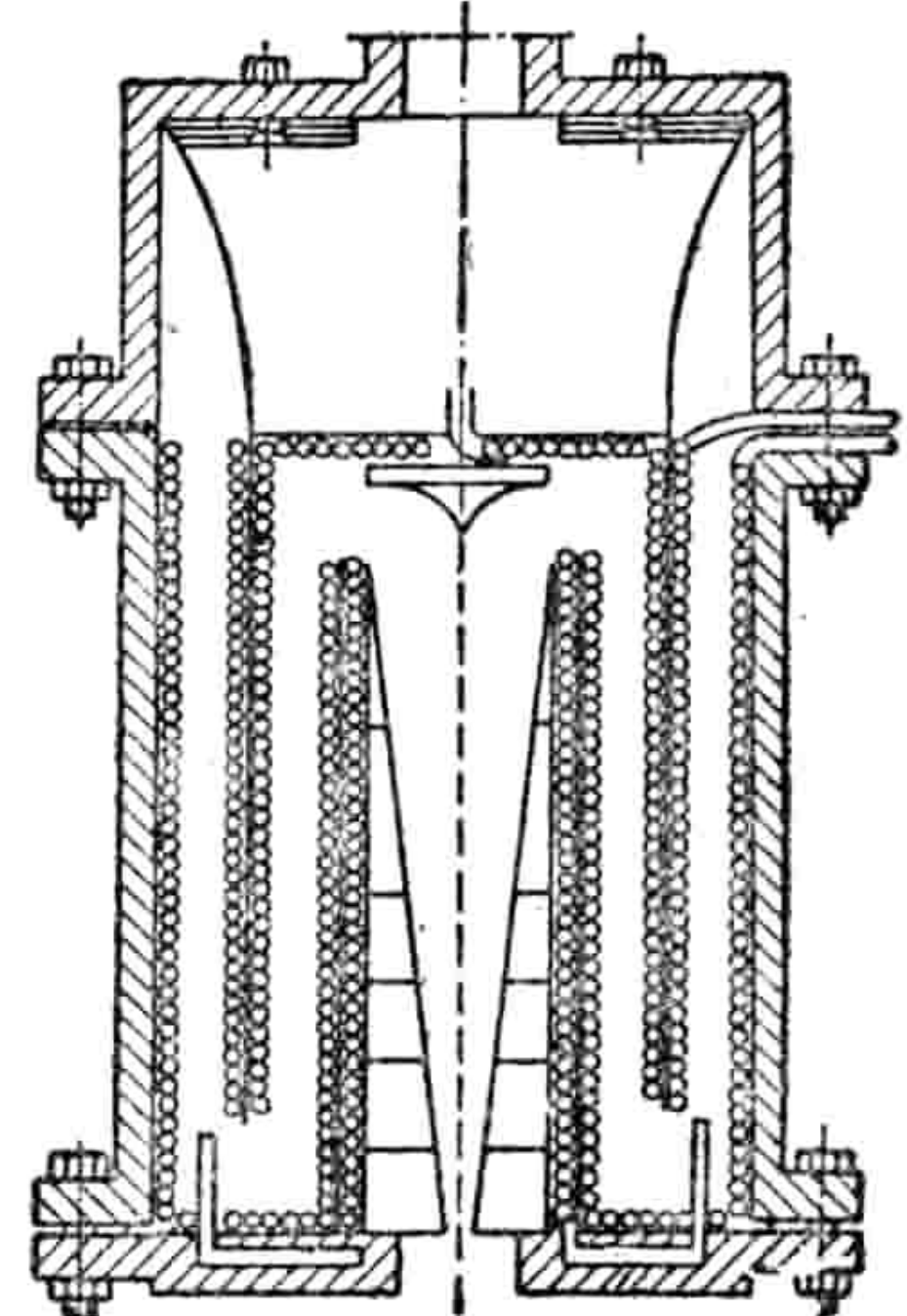


图3 П.Д.古士明斯基的燃烧室。

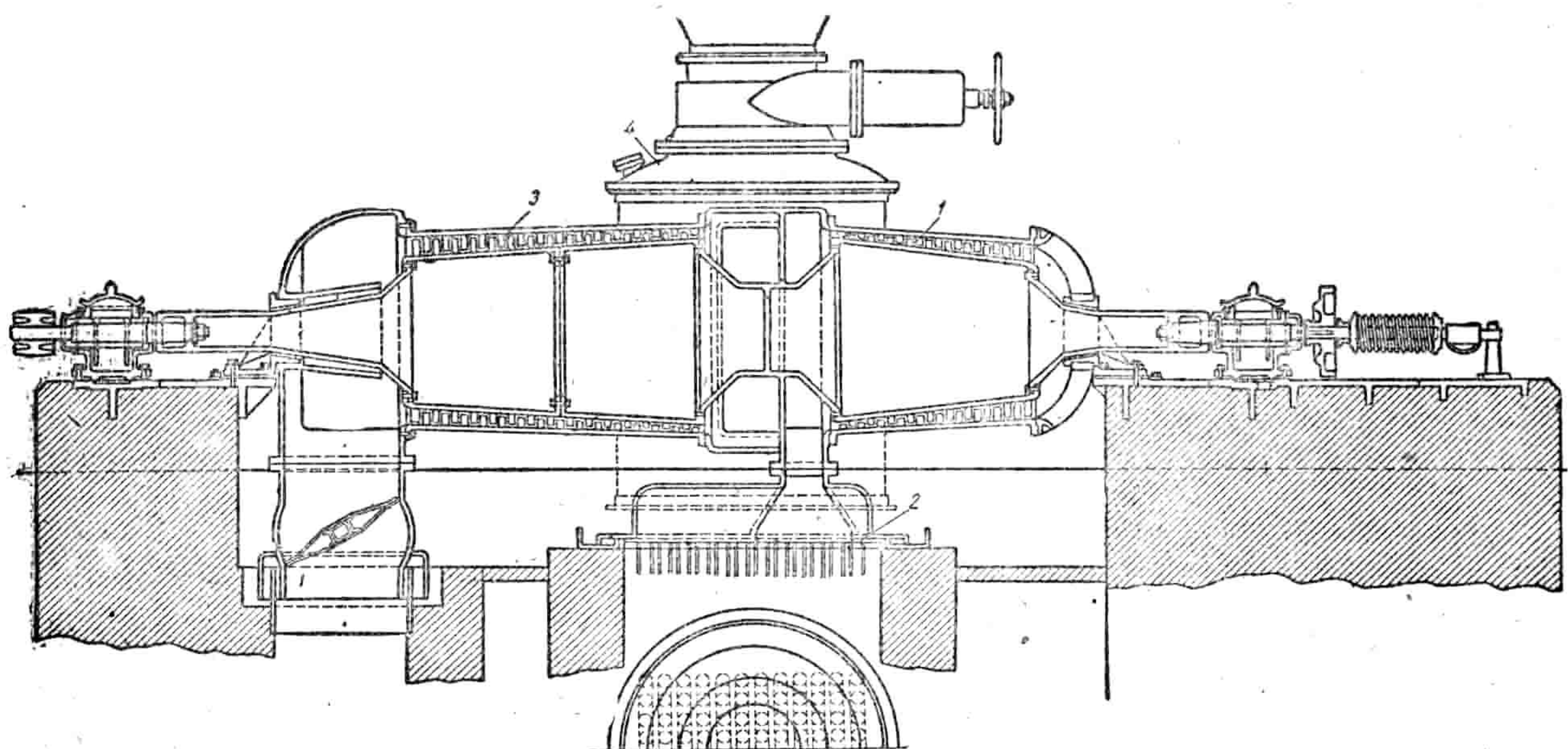


圖4 須托而采的連續燃燒式燃氣輪機裝置。

机的設計功率为 400 馬力，初压約为 5 純對大氣压，轉數为 4250 轉/分，但是它所能發出的功率只比压气机需要的功率稍会高出一些。因此拖动压气机用的能量是靠外部的能源来供給。

俄国工程师 B. B. 卡拉伏金曾經在 1906 年在法国發明并在 1908 年建造过一台断續燃燒式燃氣輪機裝置 (ГТУ ПГ) (圖5)。这种輪

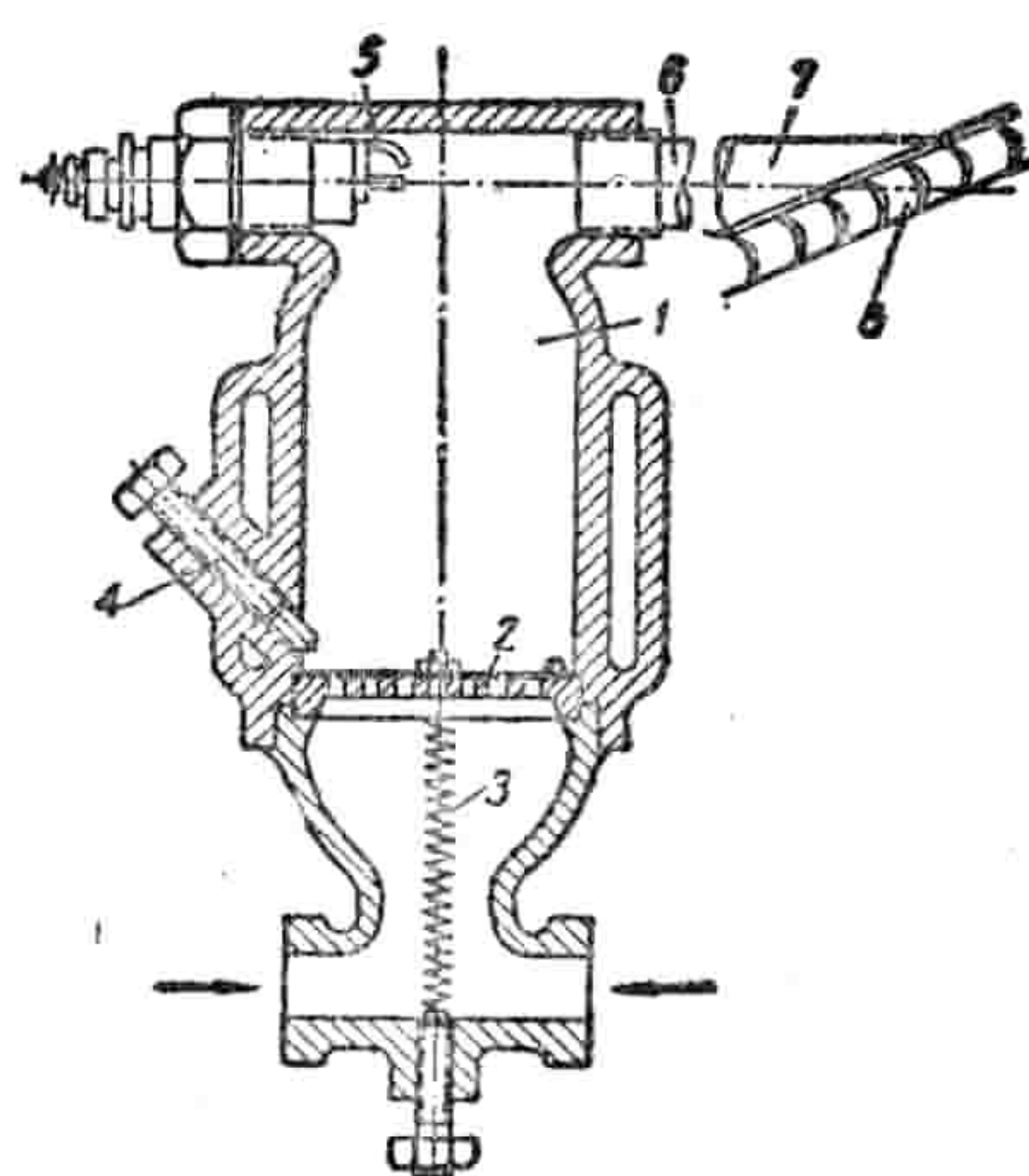


圖5 B. B. 卡拉伏金的断續燃燒式燃氣輪機裝置。

机具有体积不大的开式燃燒室 (大約 230 立方公分左右)。空气經過吸气閥 2 进入燃燒室。这台輪机的燃料是采用汽油，汽油的蒸气和空气一道被吸到燃燒室中。然后通过火花塞把混合

物点燃。經過爆燃之后，燃燒产物流过管子 6 及噴管 7 并且在輪机 8 的工作輪中作功。燃燒室和噴管之間并沒有閥門，而噴管前的压力(約為 1.3~1.4 剩余大气压)是由管子 6 中流动着的气流的慣性力所造成。管子 6 做得相当長，这样在膨胀終了时，由于运动气柱的慣性力的作用，空气就由閥門 2 吸入。彈簧 3 把閥門壓向閥座，螺栓 4 用以調節閥門的上升高度。沿着輪子周緣放有四个燃燒室，它們都有水冷却。

該輪机工作輪的直徑为 15 公分，在 10000 轉/分之下能产生 1.6 匹馬力的功率。循環的周期約为 0.03 秒。机器的有效效率总共也不过 2% 左右。

如果我們把最初諸發明家 (他們的机器都不能有效地工作) 的燃氣輪机裝置的种种方案和最近工作得很好的燃氣輪机裝置相比較，那末就可以看出：从这些原动机的原理来看，它們之間是沒有多大区别的。那末为什么早期的燃氣輪机發明家不可能获得进展而现在按照同样的原理来完成燃氣輪原动机时却能得到十分良好的結果呢？究竟是什么东西过去妨碍着有

● 在文献中也通用着其他术语：「等容燃燒式燃氣輪机裝置」和「爆燃式輪机」。

效的燃气輪机的建造呢？講到焦耳循環，那在1851年就早已知道了[54]，近代的連續燃燒式燃气輪机就是按这个循環来工作的，而且热力学方面的知識在当时用来对这样的原动机进行热力計算也已經足够了。

主要的原因在于空气动力学上和冶金学上的問題一直到最近方才解决。

因为須托而采沒有实验数据可以用来計算軸流式压气机，同时在設計輪机叶片时也沒有足够的經驗，所以他不可能設計出高效率的原动机。当时在較好的場合之下，輪机的效率也許可达到70%左右，同时压气机的效率可能达到65%左右，而燃气輪机装置主要部件的这些指标只能使原动机在空轉下工作。

一直到十九世紀末叶，耐热鋼方面的問題也並不見得好些。为了在較低的輪机效率和压气机效率之下使燃气輪机装置的有效效率能够达到稍微滿意的数值起見，就必须把輪机前的燃气溫度提高到 $700\sim800^{\circ}\text{C}$ 或更高，而这在当时來說是不可能做到的，因为在当时机器制造业中，既沒有現成的耐热材料，又沒有对輪机零件进行过冷却試驗。

为了解决以上問題，就需要对模型和实物装置作理論上和實驗上广泛的研究。

1908年德国工程师霍尔茨华脫建議了一种独特的断續燃燒式燃气輪机装置，它的結構圖样如圖6所示。在霍尔茨华脫輪机中，燃料是由閥門2引入燃燒室，而压缩空气則由压气机

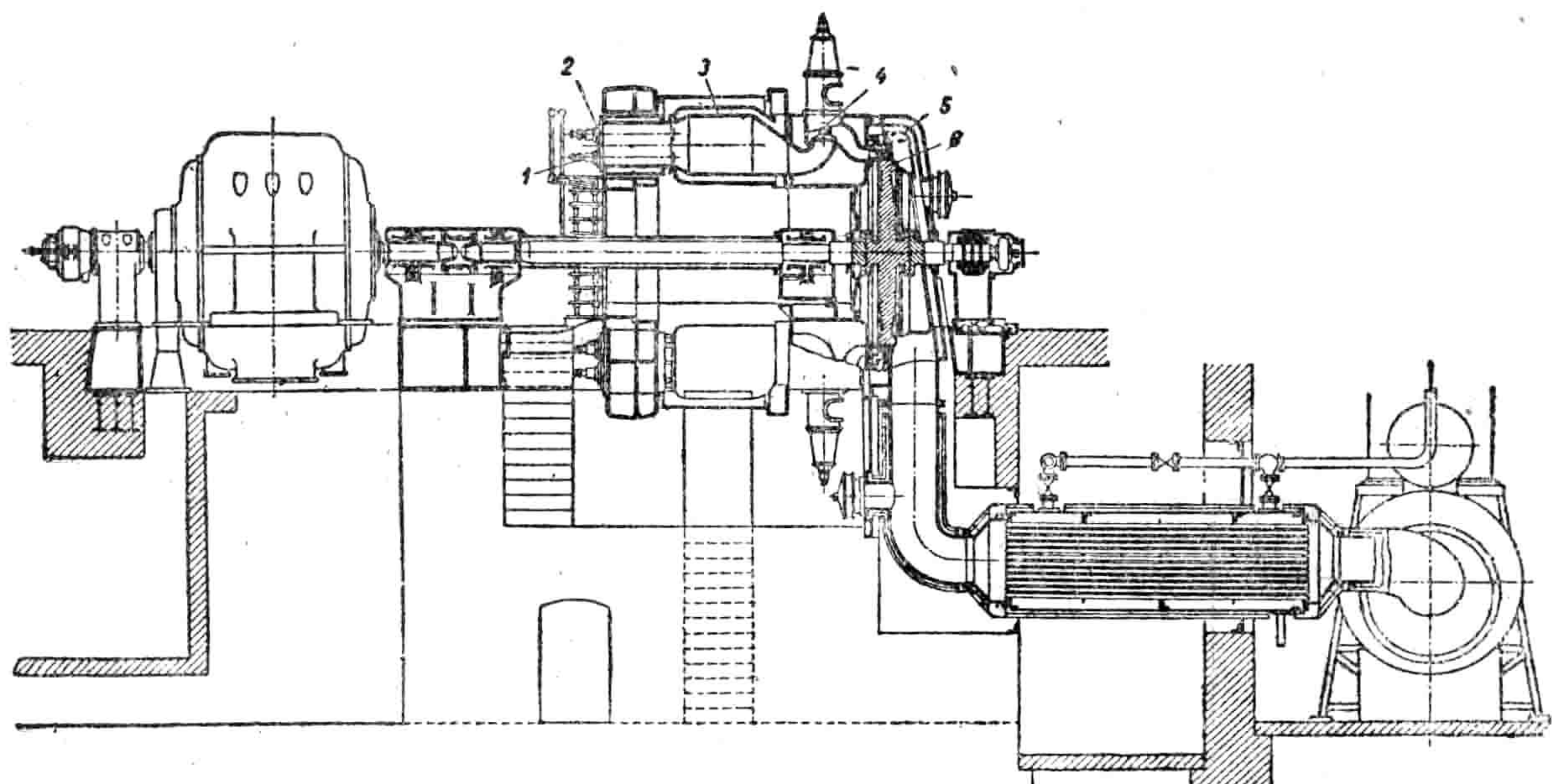


圖6 霍尔茨华脫的断續燃燒式燃气輪机装置。

通过閥門1压入。卡拉伏金和霍尔茨华脫燃气輪机装置之间的根本区别就在于压气机和閥門的采用。当閥門关闭时，处于压力之下的燃燒室中的混合物就燃燒起来，也就是说，燃燒是在等容下进行的，正因为如此，所以在燃燒的时间中压力增大了好几倍。燃料經過燃燒之后，高温气体經過閥門4流入膨胀噴管5并且以很高的速度进入輪机的工作輪6中。燃燒室、噴管

以及輪机的工作輪都是用水来冷却。这样使得冶金學問題的解决就比較容易了。在这种裝置中，离心式压气机是用蒸汽輪机来带动，蒸汽輪机用的蒸汽利用燃燒室的冷却和輪机所排出的廢气热量来产生。

在这种裝置中，压气机所起的作用并不像以前所討論过的裝置那样大，因为这里压缩空氣的排出压力要比連續燃燒式燃气輪机裝置的

来得低。

以上所討論的斷續燃燒式燃气輪机装置比連續燃燒式燃气輪机装置来得貴，同时也复杂得多，因为对于它本身來說，需要有閥門机构，而对于蒸汽輪机來說，又需要有冷凝设备。

按照霍尔茨华脱的設計方案，曾經建造了几个断續燃燒式燃气輪机装置，但其中沒有一个装置曾經長期运转过。这些装置的效率都不超过14%。

1928年瑞士布郎·白佛里公司(BBC)又重新建造具有二次脉冲过程的霍尔茨华脱燃气輪机装置。这种装置曾經在德国用高爐煤气进行过試驗。試驗的結果似乎是不錯的，因为該公司曾經对功率为5000馬力的类似装置接受过定貨，在1939年开始制造。这种輪机装置的最大經濟效率約为18~20%。

在断續式燃气輪机装置上所做的研究工作曾經对燃气輪机的整个發展过程产生良好的影响。在布朗·白佛里公司所得經驗的基础上，开始生产[韋洛克斯]型鍋爐，鍋爐中的燃燒是在压力下进行的。空气用軸流式压气机压入[韋洛克斯]鍋爐，压气机用燃气輪机来带动，而燃气輪机則利用鍋爐排出的廢气来工作。这种型式的装置到現在尚在制造着。

正当霍尔茨华脱对他的断續燃燒式燃气輪机提出改进以及各地設計师的注意力为这种型式的燃气輪机装置所吸引时，B. M. 馬可夫斯基教授清楚地看到了連續燃燒式燃气輪机装置的应用远景并且把他的精力貢献在这种装置的發展上面[41]。馬可夫斯基曾經在哈尔科夫建立过燃气輪机实验室，那里除了解决許多理論問題之外，还作成了采用气体燃料来工作的連續燃燒式燃气輪机装置的設計方案。1939年功率

約为1000馬力的燃气輪机(圖7)曾經在哈尔科夫汽輪發电机制造厂中造出并且装置在哥尔洛夫克的地下煤气化的矿坑里。把煤先在地下煤气化，这种想法首先是由Д. И. 門得雷也夫(1888年)以及后来的著名英國学者B.拉姆西所提出，B. I. 列寧曾經对这种想法作过很高的評价，認為它是偉大的技术問題之一。B. M. 馬可夫斯基曾經想把这种思想加以实现。

在馬可夫斯基輪机的燃燒室中，地下煤气是靠活塞式压气机来輸送，壓縮空气在3~4絕

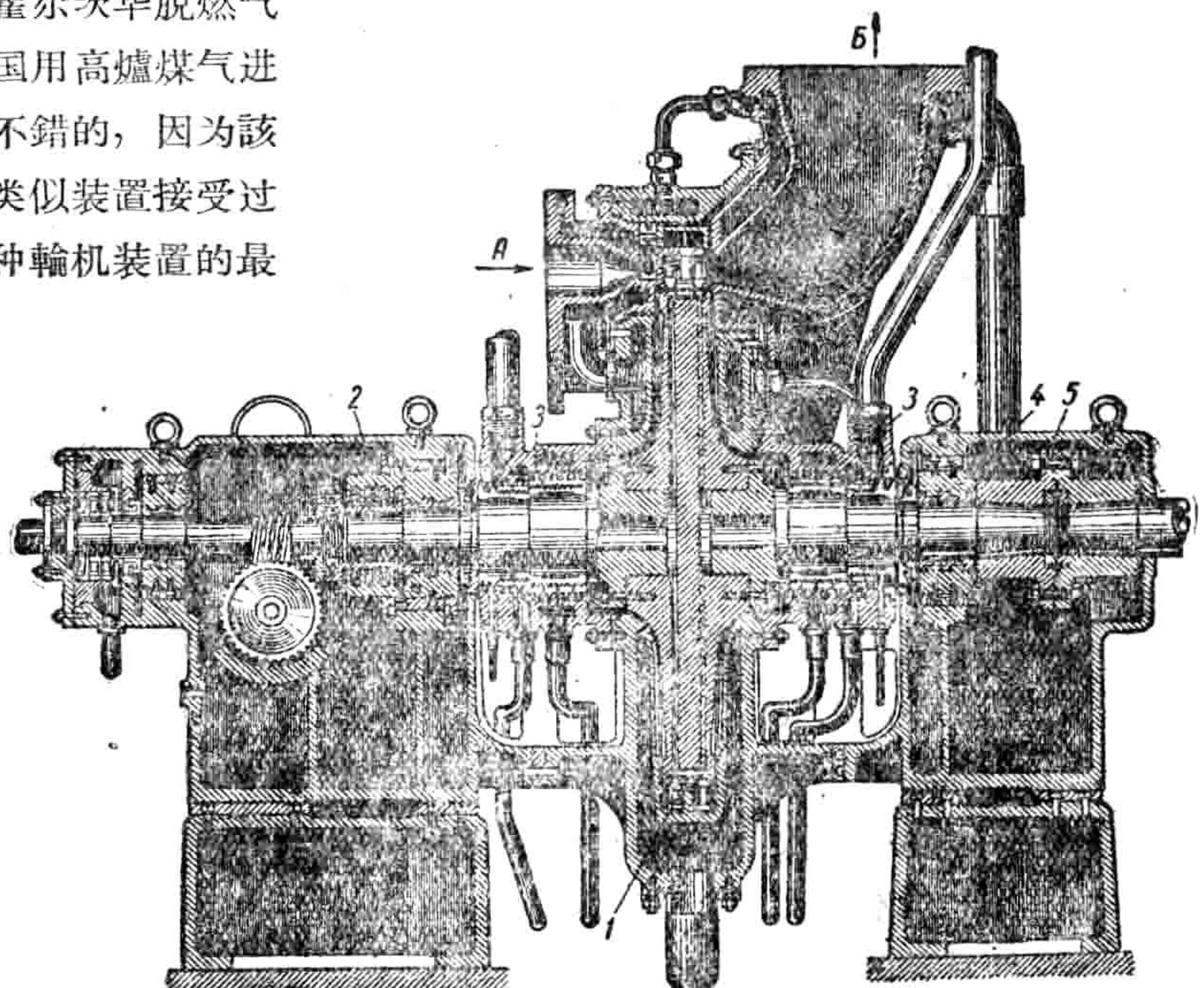


圖7 B. B. 馬可夫斯基的連續燃燒式燃气輪机装置：  
A—燃气的入口；B—燃气的出口；1—用水來冷却的工作輪；2—支持一止推軸承；  
3—气封；4—后支持軸承；5—联軸器。

对大气压的压力下从矿坑的鼓風装置送入燃燒室。

这台輪机有一兩列速度級。工作輪的轉數  $n = 4800$ 轉/分，平均直徑处之圓周速度为 215 公尺/秒。叶片是焊接在輪盤上面。承受高溫的輪机零件是用水來冷却。为了这一目的，用一特殊水泵把水从輪机空心軸的一端打过去，然后再穿过輪盤中的徑向鑽孔进入絕緣上的环形空腔中。水在徑向鑽孔中的自然对流使叶片得

以冷却。冷水受热后从空心軸的一端流走。

此后，連續燃燒式燃气輪机装置获得了迅速的發展，人們开始把它們应用在石油煉制厂，而且还想把它們用作机車，輪船以及發电厂中的主要原动机。同时上面所提及的两个問題引起了設計師們的很大注意。

空气动力学問題是和輪机以及压气机都有关系的。这里要指出，燃气輪机本身效率对于整个装置耗热量的影响要比压气机效率的影响为大，因为輪机的功率大于压气机的功率，但是輪机的效率比較容易达到很高，而提高压气机的效率則比較困难。过去对压气机改善問題之所以特別重視，其原因就只能用以上所講的情况来解釋。至于輪机，那末在本世紀的二十年代对于在良好条件下工作的蒸汽輪机級組來說（这就是說，叶片很長，蒸汽处于过热状态，每級出口处的汽流动能完全加以利用），其效率已經达到86%，甚至更高些。这用比較簡單的方法已經能达到——利用相当粗糙的实验方法所求得的叶型。

压气机問題要比輪机問題复杂得多。不久之前尚認為离心式压气机的效率不可能达到75%以上，这对燃气輪机装置的設計師來說已經不能滿足。想造出效率很高的軸流式压气机的企圖長期來都不曾實現，看起来軸流式压气机通流部的設計似乎很簡單，可以把它看作是和輪机相反的导流机构。远在二十世紀之初，柏生氏就已經做过这种尝试，但是他并没有成功，同时他所制造出来的軸流式压气机的效率不曾超过50%，在当时來說，这要比离心式压气机的效率低得多了。

以上所談的种种失敗，其原因在于輪机中和压气机中所进行的工作过程彼此之間差別很大。这种差別是：在輪机的叶片机构中是化勢能为动能，而这样的能量轉換过程要使叶道中的工質發生加速运动；可是在压气机中却正好相反，从轉子軸傳給空气的机械功化成气流的动能，然后气流的动能再化为勢能，而在

这样的能量轉換过程中要使气体流过叶型时發生减速运动。

輪机的叶型构成收縮式的叶道，虽然設計師在選擇各种不同的叶型时往往沒有充分的理論根据或实验資料，但是这些叶型多少总能給出良好的結果。即就目前來說，蒸汽輪机和燃气輪机的設計師也并不是总拥有充分的供設計叶型用的空气动力学上的特性数据。

当然，像这样的实际經驗如果用来設計压气机就不可能获得成功。因为气流是以減速度流过压气机的叶型，所以就必须給叶片以一定的形状，只要形状稍有偏差，就会使压气机的效率大大降低。而且在設計压气机的通流部时，絕不容許違背任何理論上的要求。可以这样說，在設計輪机通流部时，有时可以容許某些不准确之处存在，而且它們的影响也不大，但是它們在压气机中影响就很大。只有对压气机中的工作过程进行深入的研究才能得出正确的結論，并且使設計師不致走入歪路。

由于以上所說的原因，在設計軸流式压气机时应当根据研究得很透澈的理論以及丰富的实验材料，使設計師所选的通流部的尺寸和形状足以保証压气机所必需的特性。长期以来，設計師都沒有使用这些必要的資料設計效率很高的軸流式压气机。如果我们对压气机通流部的流体力学方面的系統研究能探索到压气机工作过程中的詳情細节（这从空气动力学的晚近發展来看是完全可以做到的），那末就有可能使軸流式压气机达到很高的效率。

1937年匈牙利工程师揚特拉西克在提高燃气輪机装置的效率方面最先达到了很大的成就，那时候他正在布达佩斯开始試驗功率为100馬力的單軸燃气輪机装置。这个装置是由一个十級的压气机以及轉数为16500轉/分的七級燃气輪机所組成，压气机就用这台燃气輪机来带动。空气先压缩到2.2剩余大气压，然后引往薄板式空气預热器。輪机的轉子用从压气机中抽出来的空气有效地冷却。当燃气的初溫为